

(51) 2段ベンチNATMにおける坑外計測と坑内計測との対比

日本国有鉄道

応用地質調査事務所

○ 小林 進

近藤 達敏

高田 充温

土屋 浩

1 まえがき

NATM計測の多くはトンネル切羽近くに計器を設置して測定を開始する方式の坑内計測で占められている。この方式は経済的かつ実用的な方法であるが、トンネル切羽が到達する前の変位を把握できないことはよく知られている¹⁾。そのため、切羽到達前の変位については、坑内計測による変位測定結果に一定の比を乗ずる等の方法によつて推定することが行なわれている。

今回、2段ベンチNATMで掘削された円形トンネルにおいて、坑外計測と坑内計測を同一地点で実施し、両者の結果を対比した。それによると、坑外計測で測定された全変位量に対し、坑内計測で測定された変位量の比率は、水平方向変位と鉛直方向変位とで異なることが判明した。そこで、2次元FEM解析によつて、2段ベンチNATMと全断面NATMの場合について、坑内計測で測定可能な変位量を検討し、計測結果の特徴が2段ベンチNATMに共通する特徴であることを確認した。また、軸対称FEM解析によつて、坑内計測における初期値測定時の切羽距離が変位測定結果に与える影響を検討した。

小論の検討結果は、坑内計測によつてトンネル周辺地盤の安定性を判断する場合に役立つばかりでなく、ロックボルトの打設時期とその効果を検討する場合にも参考になるものと考えられる。

2 計測方法

計測の対象としたトンネルは半径3.7mの円形であり、ベンチ長を4mとして、上部半断面および下部半断面ともロッドヘッダーによつて掘削された。

坑外計測としては図-1のように、傾斜2孔によつて水平方向変位を測定した。また、沈下計および水準測量によつて鉛直方向変位を測定した。

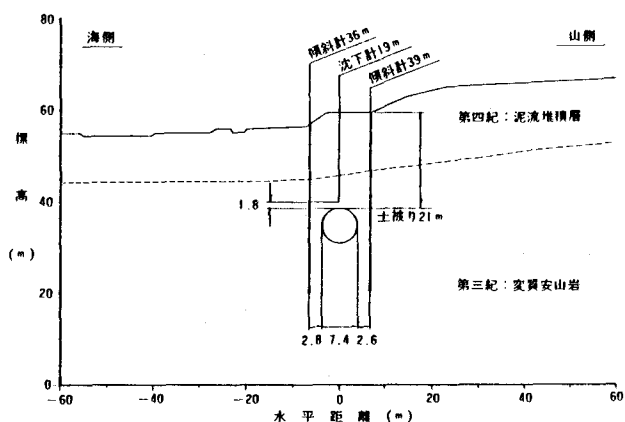


図-1 坑外計測の計器配置

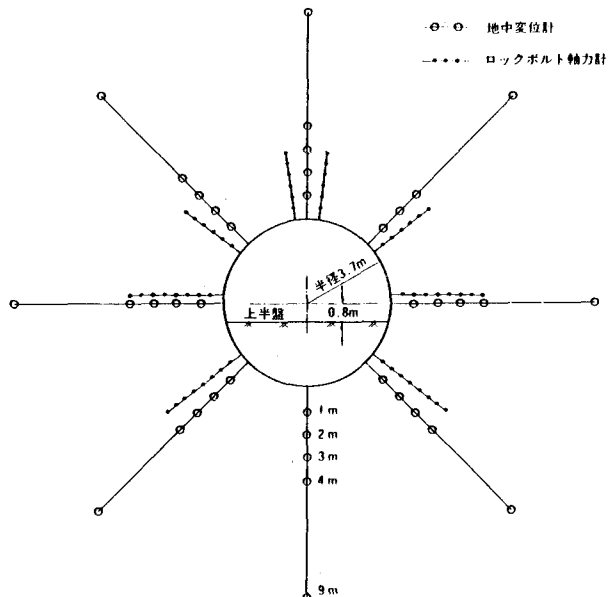


図-2 坑内計測の計器配置

一方、坑内計測としては図-2のよう、上部半断面内に5方向、下部半断面内に3方向の地中変位測線を設定した。なお、ロックボルト軸力についても、地中変位とほぼ同一方向において測定した。

3 計測結果

坑外計測および坑内計測の結果を、水平方向変位と鉛直方向変位に分けて対比する。まず、トンネル側方3m付近にある測点の水平方向変位量を図-3に示した。坑内の地中変位計による変位量3.9mmは、傾斜計による変位量5.2mmの7.5%に相当するが、坑内計測開始時における傾斜計測定値1.2mmを考慮すると、両者はよく一致している。

次に、トンネル上方3m付近にある測点の鉛直方向変位量を図-4に示した。坑内の地中変位計による変位量0.5mmは、沈下計による変位量2.0mmの2.5%に相当し、坑内計測開始時における沈下計測定値1.2mmを考慮すると、両者はほぼ一致している。しかし、坑外計測値に対する坑内計測値の割合が水平方向(75%)と鉛直方向(25%)とで大巾に異なることは、トンネル周辺地盤の安定性を判断する際に、坑内計測値そのまま使うと問題が生じる恐れがあることを示している。そこで、この問題を2次元FEM解析によつて確認することにした。

4 2次元FEM解析結果

要素分割図を図-5、ロックボルトの配置を図-6に示した。解析条件は次の通りである。

$$E = 3900 \text{ kgf/cm}^2$$

$$\nu = 0.30$$

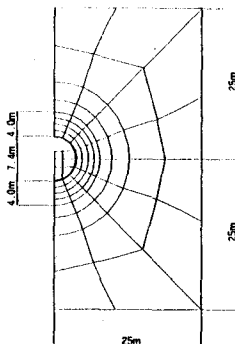


図-5 要素分割図

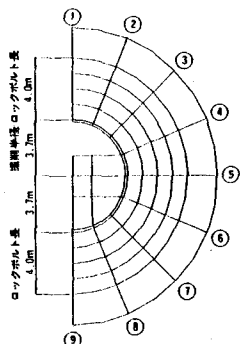


図-6 ロックボルト配置

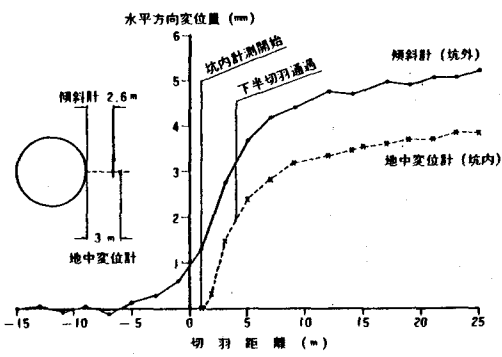


図-3 水平方向変位量と切羽距離

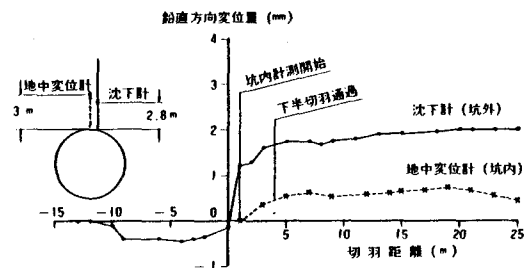


図-4 鉛直方向変位量と切羽距離

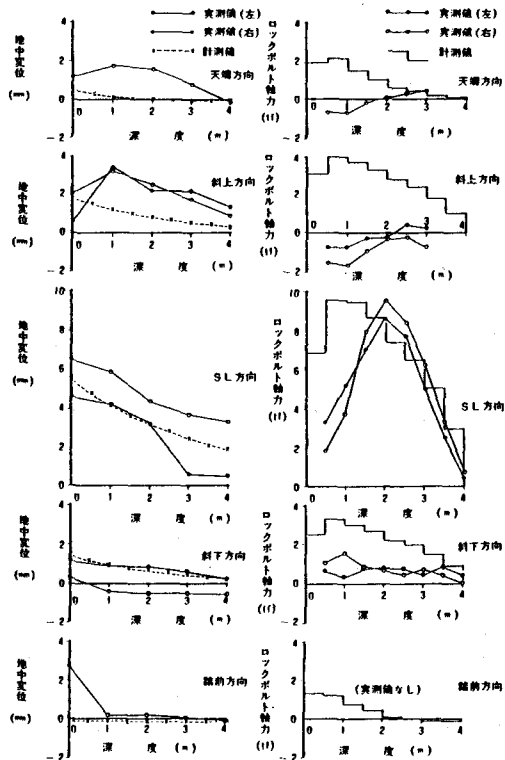


図-7 地中変位

図-8 ロックボルト軸力

吹付コンクリート(厚さ15cm)については平面要素、ロックボルトについてはピーム要素ロックボルトモデル(BEARM-OYO)を使用した。その他の解析条件は文献2)を参照されたい。

最初に、2段ベンチNATMの場合の解析結果を計測結果と対比して検討する。図-7は、地中変位に関する実測値と計算値である。図中、上部半断面における計算値としては、上半切羽が到達して以降に生ずる変位量を示してある。また、下部半断面における計算値としては、下半切羽が到達して以降に生ずる変位量を示してある。これらはいずれも、深度9mの測点に対する相対変位量の形とした。こうした操作によつて、計算値と実測値は、区間に關してもまた期間に關しても、同じ性格の変位量になつてゐる。図-7における計算値は、実測値の傾向をほぼ表現していると見てよいであろう。

図-8は、ロックボルト軸力に関する実測値と計算値である。天端付近のロックボルト軸力については、実測値が圧縮傾向にあるが、計算値はこの傾向を表現できていない。側壁付近のロックボルト軸力については、計算値は実測値にかなり近いことができよう。以上の検討で、今回の2次元FEM解析がトンネル掘削時の実際の挙動をある程度は表現していることが確認された。

次に、坑内計測によつて測定し得る変位量を、2次元FEM解析結果によつて検討する。図-9は2段ベンチNATMの場合の上記FEM解析の結果を別の形に整理したものである。図中の計算全変位量は坑外計測値に対応し、計測可能変位量は坑内計測値に対応する。両者の比率を計測結果に対応する位置(深度3m)で調べると、天端方向において10%、SL方向において90%、踏前方向においては収縮傾向を示して-18%になつてゐる。

更に、全断面NATMの場合について、2次元FEM解析を実施し、2段ベンチNATMの場合と同様に整理して図-10に示した。計算全変位量(坑外計測値)に対する計測可能変位量(坑内計測値)の比率は、深度3m付近について、天端方向において40%、SL方向において61%、踏前方向において56%を示している。

2段ベンチNATM(図-9)と全断面NATM(図-10)とを合わせて考察すると、坑外計測値に対する坑内計測値の比率が水平方向と鉛直方向とで異なる原因は、トンネル断面を分割して掘削するところにあることがわかる。従つて、全断面NATMの場合は、今回の計測結果の対比で明らかになつたような問題が発生する可能性は小さいと考えられる。

ところで、2次元FEM解析を用いた上記の検討は、トンネル切羽に計器を設置してその後の変形を計測することを前提としている。しかし、実際の坑内計測においては、計測作業の必要上、切羽から多少離れた位置で計測を開始せざるを得ない。そこで、坑内計測の初期値測定時における切羽距離が、計測結果に与える影響を検討するため、軸対称FEM解析を実施した。

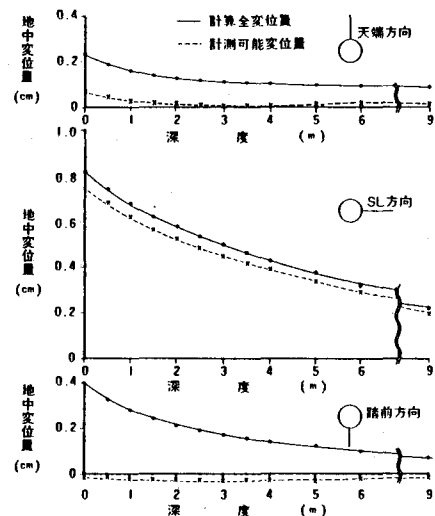


図-9 2段ベンチNATMの計算結果

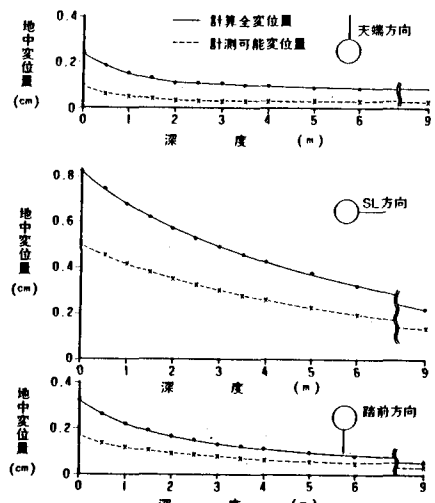


図-10 全断面NATMの計算結果

5 軸対称 F E M 解析結果

軸対称 F E M 解析の要素分割図を図-1-1に示した。解析したトンネルの半径は 5 m、解析領域の半径は 41 m であるが、解析結果はトンネル半径 r を単位として表示した。また、半径方向変位については、切羽距離が $8r$ の点における変位量を単位として規格化した。

半径方向変位の分布を図-1-2に示した。この図はトンネル周辺地盤の変形後の形状を誇張したものになつていて、その様子はトンネル切羽を境として急変し、切羽前方においては下に凸の曲線、切羽後方においては上に凸の曲線を描いている。特に、切羽付近のトンネル壁面においては、切羽距離のわずかの違いで半径方向変位が大きく変化することがわかる。

トンネル壁面からの深度が d/r である点の半径方向変位が、最終変位量 ($L/r = 8$ における変位量) に対して占める割合を変位出現率と定義し、それが切羽距離 L/r によって変化する様子を図-1-3に示した。壁面に近い点の変位出現率が切羽近くで急激に増加するのに対して、壁面から遠い点の変位出現率は切羽距離に従つてゆるやかに増加することがわかる。

最後に、特定の切羽距離 L/r における深度方向の変位出現率を見ると図-1-4のようになつていて、切羽近くにおいては、浅い所程変位出現率が低いが、切羽から離れると、深い所程変位出現率が高くなる傾向が見られる。

6 あとがき

2段ベンチ NATM の坑内で実施される地中変位測定においては、鉛直方向変位量が相対的に小さく測定される傾向があることが判明した。従つて、トンネル周辺地盤の安定性を判断するに当つては、こうした傾向を考慮に入れる必要がある。

参考文献

- 1) 桜井春輔・蓮井昭則・近藤達敏：3次元的な掘削手順を考慮したトンネルの有限要素解析、土木学会第36回年次学術講演会講演集、1981年10月。
- 2) 土屋 浩・近藤達敏：ビーム要素ロツクボルトモデルにおける剪断バネ定数についての検討、日本応用地質学会、昭和58年度研究発表会 予稿集、1983年10月。

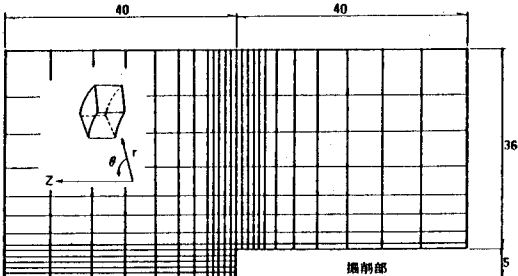


図-1-1 軸対称 F E M 解析の要素分割図

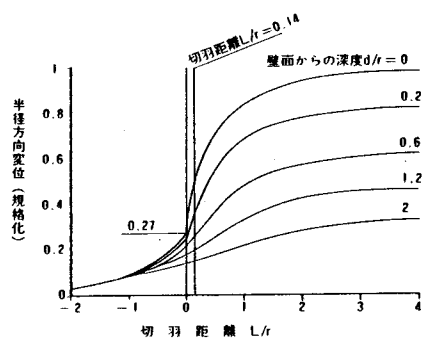


図-1-2 半径方向変位の分布

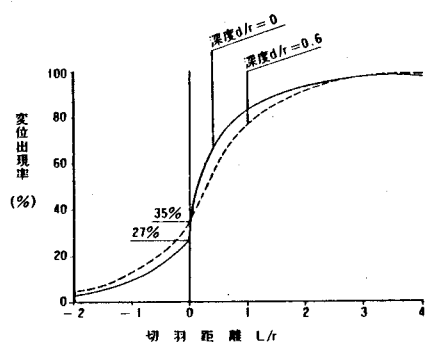


図-1-3 切羽距離と変位出現率

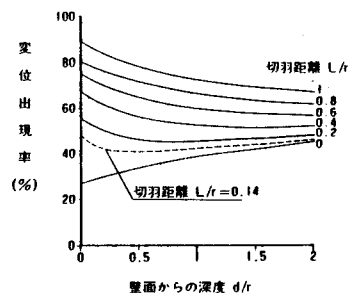


図-1-4 深度と変位出現率

(51) A CONSIDERATION ON THE DISPLACEMENT SURROUND
TUNNEL DURING THE EXCAVATION BY NATM

Susumu KOBAYASHI, Mitsuhiro TAKADA (Japanese National Railways)
Tatsutoshi KONDOH, Hiroshi TSUCHIYA (OYO Corporation)

SUMMARY

The field measurements were executed to get deformations and stresses induced on the rockbolts surrounding rocks during the excavation of Shin-Usami tunnel of which rocks consists of the altered andesite of tertiary age ,which was excavated by NATM with very short bench of 4m.

The measurements of deformations surrounding rocks were executed by extensometers from the tunnel wall in 8 directions and by inclinometers from the ground surface in vertical direction. From the actual results of displacement, the ratio of displacement obtained by extensometer from the tunnel wall against from the ground surface shows a remarkable difference according to the direction of displacement measurements.

In order to compare the deformation behaviors obtained from the actual results to the theoretical ones, a numerical analysis by FEM are put into practice considering the partition of tunnel face consisting the bench section and the full section. In this article , the authors show that the actual behaviors of surrounding tunnel will be similar to the theoretical one.

As a conclusion , the ratio of displacement appeared at the time that the tunnel face arrived at the measuring section against the total displacement during tunnel excavation obtained by the measuring apparatus from the ground surface will not show the same values according to the measuring directions.